

تشخیص و آنالیز عوامل جنگ شیمیایی با استفاده از کروماتوگرافی لایه نازک و معرفی روش‌های نوین آشکارسازی

^۱ اسماعیل سهولی*

^۲ سید لطف الله شریفی آل هاشم

^۳ فریماه موسوی

چکیده

عوامل جنگ شیمیایی (CWAs)، مواد شیمیایی سمی می‌باشند و بر طبق اثرباران بر روی بدن انسان، سازماندهی و تقسیم‌بندی می‌شوند. کاربرد گسترده این ترکیبات در کشتار جمعی و عملیات تروریستی به وضوح مشخص است. حضور این ترکیبات در آب‌ها و همچنین در محیط زیست نگرانی‌های زیادی را به همراه داشته است، از این‌رو در این مقاله به معرفی روش‌هایی برای آنالیز و تشخیص این ترکیبات پرداخته شده است. در این میان، کروماتوگرافی لایه نازک (TLC) به عنوان یک روش ساده، مقرون به صرفه و آسان می‌باشد که جز اولین روش‌ها برای شناسایی این ترکیبات به حساب می‌آید. به علاوه، معرفی روش‌های نوین شناسایی و اندازه گیری CWAs مانند طیفسنج تحرک یونی (IMS)، روش‌های رنگ‌سنگی، روش‌های فلورسانس، آپتانسنور، طیفسنجی رامان افزایش سطحی (SERS) و سنسورهای صوتی نیز در این مقاله مد نظر قرار گرفته است. لازم به ذکر است که، همگی این روش‌ها حدتشخیص بسیار مناسبی برای تعیین این ترکیبات در محیط‌های مختلف ارائه داده‌اند. این روش‌ها برای آشکارسازی دی‌متیل فسفونات (DMMP) به عنوان شبه عامل اعصاب نیز استفاده شده است.

واژه‌های کلیدی

عوامل جنگ شیمیایی، کروماتوگرافی لایه نازک، روش‌های نوین آنالیز، شناسایی و آشکارسازی

^۱ - دانشجوی دکترا شیمی تجزیه، گروه شیمی، دانشگاه جامع امام حسین (ع)

^۲ - استادیار شیمی معدنی، گروه شیمی، دانشگاه جامع امام حسین (ع)

^۳ - دانشجوی دکترا نانوشیمی، گروه شیمی آلی، دانشگاه رازی

مقدمه

عوامل جنگ شیمیایی (CWAs)، جز سلاح‌های کشتار جمعی محسوب می‌شوند که یکی از ترسناک‌ترین آن‌ها به شمار می‌روند. با توجه به این‌که دسترسی و گسترش آن‌ها نسبتاً آسان است، که در نوبه خود باعث شده است آن‌ها یک تهدید بزرگ برای امنیت ملی و جهانی باشند (Barba-Bon, A. et Al, 2014). اگر چه استفاده از آن‌ها به عنوان سلاح شیمیایی ممنوع است، با این حال هنوز هم برای جنگ‌های کثیف در کشورهای توسعه نیافته یا در حمله‌های تروریستی استفاده می‌شوند (Aleksenko, S. S. 2012). از عوامل جنگ شیمیایی در طول جنگ‌های ایران و عراق سال‌های ۱۹۸۰، در دو حمله تروریستی در ژاپن در سال‌های ۱۹۹۴ و ۱۹۹۵، و همچنین در سال ۲۰۱۳ در جنگ سوریه استفاده شده است که تلفات زیادی را به همراه داشته‌اند (Mondloch, J.E, et al. 2015, Kim, T.I, 2016). در سال ۱۹۹۵ در پی یک حمله تروریستی با آزادسازی گاز سارین در ژاپن و توکیو موجب مرگ ۱۲ نفر و آسیب‌دیدگی ۵۰۰۰ نفر غیرنظمی شد (Okumura, T., 1996). عوامل جنگ شیمیایی را می‌توان بر طبق ماهیت استفاده از آن‌ها، ماندگاری آن‌ها در منطقه و عمل فیزیولوژیکی در چندین طبقه دسته بندی کرد که شامل عوامل اعصاب، عوامل تاول‌زا، عوامل خون، عوامل خفه‌کننده، پروتئین‌های سمی، عوامل ناتوان کننده و عوامل اشک‌آور می‌باشند. با این حال عوامل عصی، تاول‌زا، عوامل خونیو عوامل خفه‌کننده جز کشنده‌ترین عوامل جنگ شیمیایی (CWAs) می‌باشند و به علت سمیت بالایی که دارند، دانشمندان در انجام امور تحقیقاتی از موارد مشابه آن‌ها استفاده می‌کنند. شکل ۱، عوامل جنگ شیمیایی را، به همراه مشخصات فراریت، غلظت متوسط ناتوان کننده (IC₅₀) و اثر سمیت آن‌ها ذکر شده است. در جدول ۱، برخی از مشخصات عوامل کشنده جنگ شیمیایی آورده شده است (Gray, C. 2007, Satoh, T, 2015) تمام ترکیبات ذکر شده در جدول ۱ و شکل ۱ خطرناک هستند، اما دوز کشنده تنفسی آن‌ها چندین برابر متفاوت می‌باشند. با این حال عوامل جنگ شیمیایی (CWAs) نه تنها با استنشاق مستقیم بلکه در تماس با پوست در موارد جنگ شیمیایی نیز سمیت نشان دادند. با وجود منع استفاده از عوامل جنگ شیمیایی (CWAs)، این عوامل هنوز هم تهیه می‌شود، و حتی در انبار برخی از ارتش‌ها نیز هنوز باقی‌مانده‌اند، بنابراین شناسایی این عوامل پیش از تولید و استفاده توسط گروههای تروریستی و نظامی، بسیار مهم است تا بتوان جلوی ضررهای جبران ناپذیر آن‌ها را گرفت. در این مقاله در ابتدا شناسایی عوامل جنگ شیمیایی با استفاده از روش کروماتوگرافی لایه نازک (TLC)، که

یک روش بسیار مفید و ارزان است، مورد بررسی قرار گرفته، سپس روش‌های نوینی که برای تشخیص و آشکارسازی این عوامل استفاده شده‌اند، ذکر می‌گردد.

جدول ۱) عوامل کشنده جنگ شیمیایی

کلاس عامل	نام سری عامل	مثال	Riftar
اعصاب	سری G	سارین (GB) سومان (GD) تابون (GA)	غیر فعال کردن آنزیم استیل کولین استر جلوگیری از تفکیک آنزیم استیل کولین استر در سیناپس‌ها و ایجاد دو عامل موس کارینیک و نیکوتینیک
	سری V	VX RVX	
تلویزیون	خردل گوگردی	HD	عواملی هستند که بالجام واکنش با پروتئین، DNA و بافت‌های پوست مکانیسم سوختی را بوجود می‌آورد. بهمین روش سیستم تنفسی را آسیب می‌رسانند.
	خردل نیتروژنی	HN1 HN2 HN3 (L1)	
خون	هیدروژن سیانید سیانوژن کلرید	AC CK	سیانید جذب گلbul قرمز شده و سپس روی آنزیم سیتوکروم اکسیداز می‌نشیند و مانع از رسیدن اکسیژن به سلول‌ها می‌شود.
خفه کننده	فسرلن، دی فسرلن، کلرین	(CG)	با رطوبت موجود در شش‌ها به اسید HCl تبدیل شده و موجب تخریب بافت شش‌ها گردیده و موجب تجمع آب میان بافتی می‌گردد که مانع تماس اکسیژن با خون می‌گردد
استفراغ‌آور	دی فنیل آمین آرسین	(DM)	بر روی سیستم گوارش بدن اثر می‌گذارد و عوارضی مانند درد شکم و اسهال

<p>عامل خونی</p> <table border="1"> <tr> <td style="text-align: center;">(CNCl) سیانوزن کلرید</td> <td style="text-align: center;">(HCN) هیدروژن سیانید</td> </tr> <tr> <td style="text-align: center;">volatility: $3 \times 10^6 \text{ mg m}^{-3}$</td> <td style="text-align: center;">$9 \times 10^5 \text{ mg m}^{-3}$</td> </tr> <tr> <td style="text-align: center;">$\text{LCt}_{50}: 11,000 \text{ mg min m}^{-3}$</td> <td style="text-align: center;">$4,500 \text{ mg min m}^{-3}$</td> </tr> <tr> <td style="text-align: center;">toxic manifestation: fast</td> <td style="text-align: center;">fast</td> </tr> </table>	(CNCl) سیانوزن کلرید	(HCN) هیدروژن سیانید	volatility: $3 \times 10^6 \text{ mg m}^{-3}$	$9 \times 10^5 \text{ mg m}^{-3}$	$\text{LCt}_{50}: 11,000 \text{ mg min m}^{-3}$	$4,500 \text{ mg min m}^{-3}$	toxic manifestation: fast	fast	<table border="1"> <tr> <td style="text-align: center;">(COCl) فوسزن</td> <td style="text-align: center;">(Cl₂) کلوراژن</td> <td style="text-align: center;">(CNO₂Cl₃) کلرو-پکرین</td> </tr> <tr> <td style="text-align: center;">volatility: $6 \times 10^6 \text{ mg m}^{-3}$</td> <td style="text-align: center;">$1.9 \times 10^7 \text{ mg m}^{-3}$</td> <td style="text-align: center;">$1.7 \times 10^5 \text{ mg m}^{-3}$</td> </tr> <tr> <td style="text-align: center;">$\text{LCt}_{50}: 3,200 \text{ mg min m}^{-3}$</td> <td style="text-align: center;">$19,000 \text{ mg min m}^{-3}$</td> <td style="text-align: center;">$2,000 \text{ mg min m}^{-3}$</td> </tr> <tr> <td style="text-align: center;">toxic manifestation: slow</td> <td style="text-align: center;">fast</td> <td style="text-align: center;">fast</td> </tr> </table>	(COCl) فوسزن	(Cl ₂) کلوراژن	(CNO ₂ Cl ₃) کلرو-پکرین	volatility: $6 \times 10^6 \text{ mg m}^{-3}$	$1.9 \times 10^7 \text{ mg m}^{-3}$	$1.7 \times 10^5 \text{ mg m}^{-3}$	$\text{LCt}_{50}: 3,200 \text{ mg min m}^{-3}$	$19,000 \text{ mg min m}^{-3}$	$2,000 \text{ mg min m}^{-3}$	toxic manifestation: slow	fast	fast	<table border="1"> <tr> <td style="text-align: center;">(VX) سکاوهکربل سارین</td> <td style="text-align: center;">(DF) سیل-سفوینل دی-فلوتورواک</td> </tr> <tr> <td style="text-align: center;"> $\begin{array}{c} \text{O} \\ \\ \text{CH}_3-\text{P}-\text{SCH}_2\text{CH}_2\text{N} \\ \\ \text{OC}_2\text{H}_5 \end{array}$ </td> <td style="text-align: center;"> $\begin{array}{c} \text{O} \\ \\ \text{CH}_3-\text{P}-\text{SCH}_2\text{CH}_2\text{N} \\ \\ \text{OCHCH}_2\text{CH}_3 \\ \\ \text{CH}_3 \end{array}$ </td> </tr> <tr> <td style="text-align: center;">1.6 mg m^{-3}</td> <td style="text-align: center;">40 mg min m^{-3}</td> </tr> <tr> <td style="text-align: center;">fast</td> <td style="text-align: center;">fast</td> </tr> </table>	(VX) سکاوهکربل سارین	(DF) سیل-سفوینل دی-فلوتورواک	$\begin{array}{c} \text{O} \\ \\ \text{CH}_3-\text{P}-\text{SCH}_2\text{CH}_2\text{N} \\ \\ \text{OC}_2\text{H}_5 \end{array}$	$\begin{array}{c} \text{O} \\ \\ \text{CH}_3-\text{P}-\text{SCH}_2\text{CH}_2\text{N} \\ \\ \text{OCHCH}_2\text{CH}_3 \\ \\ \text{CH}_3 \end{array}$	1.6 mg m^{-3}	40 mg min m^{-3}	fast	fast																					
(CNCl) سیانوزن کلرید	(HCN) هیدروژن سیانید																																																		
volatility: $3 \times 10^6 \text{ mg m}^{-3}$	$9 \times 10^5 \text{ mg m}^{-3}$																																																		
$\text{LCt}_{50}: 11,000 \text{ mg min m}^{-3}$	$4,500 \text{ mg min m}^{-3}$																																																		
toxic manifestation: fast	fast																																																		
(COCl) فوسزن	(Cl ₂) کلوراژن	(CNO ₂ Cl ₃) کلرو-پکرین																																																	
volatility: $6 \times 10^6 \text{ mg m}^{-3}$	$1.9 \times 10^7 \text{ mg m}^{-3}$	$1.7 \times 10^5 \text{ mg m}^{-3}$																																																	
$\text{LCt}_{50}: 3,200 \text{ mg min m}^{-3}$	$19,000 \text{ mg min m}^{-3}$	$2,000 \text{ mg min m}^{-3}$																																																	
toxic manifestation: slow	fast	fast																																																	
(VX) سکاوهکربل سارین	(DF) سیل-سفوینل دی-فلوتورواک																																																		
$\begin{array}{c} \text{O} \\ \\ \text{CH}_3-\text{P}-\text{SCH}_2\text{CH}_2\text{N} \\ \\ \text{OC}_2\text{H}_5 \end{array}$	$\begin{array}{c} \text{O} \\ \\ \text{CH}_3-\text{P}-\text{SCH}_2\text{CH}_2\text{N} \\ \\ \text{OCHCH}_2\text{CH}_3 \\ \\ \text{CH}_3 \end{array}$																																																		
1.6 mg m^{-3}	40 mg min m^{-3}																																																		
fast	fast																																																		
عامل خفه کننده																																																			
<table border="1"> <tr> <td style="text-align: center;">(CG) فوسزن</td> <td style="text-align: center;">(CI) کلوراژن</td> <td style="text-align: center;">(PS) کلرو-پکرین</td> </tr> <tr> <td style="text-align: center;">COCl_2</td> <td style="text-align: center;">Cl_2</td> <td style="text-align: center;">CNO_2Cl_3</td> </tr> <tr> <td style="text-align: center;">volatility: $6 \times 10^6 \text{ mg m}^{-3}$</td> <td style="text-align: center;">$1.9 \times 10^7 \text{ mg m}^{-3}$</td> <td style="text-align: center;">$1.7 \times 10^5 \text{ mg m}^{-3}$</td> </tr> <tr> <td style="text-align: center;">$\text{LCt}_{50}: 3,200 \text{ mg min m}^{-3}$</td> <td style="text-align: center;">$19,000 \text{ mg min m}^{-3}$</td> <td style="text-align: center;">$2,000 \text{ mg min m}^{-3}$</td> </tr> <tr> <td style="text-align: center;">toxic manifestation: slow</td> <td style="text-align: center;">fast</td> <td style="text-align: center;">fast</td> </tr> </table>	(CG) فوسزن	(CI) کلوراژن	(PS) کلرو-پکرین	COCl_2	Cl_2	CNO_2Cl_3	volatility: $6 \times 10^6 \text{ mg m}^{-3}$	$1.9 \times 10^7 \text{ mg m}^{-3}$	$1.7 \times 10^5 \text{ mg m}^{-3}$	$\text{LCt}_{50}: 3,200 \text{ mg min m}^{-3}$	$19,000 \text{ mg min m}^{-3}$	$2,000 \text{ mg min m}^{-3}$	toxic manifestation: slow	fast	fast	<table border="1"> <tr> <td style="text-align: center;">(GB) سارین</td> <td style="text-align: center;">(GD) سومان</td> <td style="text-align: center;">(GA) زیوان</td> <td style="text-align: center;">(GF) سکاوهکربل سارین</td> </tr> <tr> <td style="text-align: center;"> $\begin{array}{c} \text{O} \\ \\ \text{CH}_3-\text{P}-\text{F} \\ \\ \text{OCH}(\text{CH}_3)_2 \end{array}$ </td> <td style="text-align: center;"> $\begin{array}{c} \text{O} \\ \\ \text{CII}_3-\text{P}-\text{F} \\ \\ \text{OCHC}(\text{CH}_3)_3 \\ \\ \text{CH}_3 \end{array}$ </td> <td style="text-align: center;"> $\begin{array}{c} \text{O} \\ \\ \text{C}_2\text{H}_5\text{O}-\text{P}=\text{CN} \\ \\ \text{N}(\text{CH}_3)_2 \end{array}$ </td> <td style="text-align: center;"> $\begin{array}{c} \text{O} \\ \\ \text{CH}_3-\text{P}-\text{F} \\ \\ \text{O}-\text{C}_6\text{H}_5 \end{array}$ </td> </tr> <tr> <td style="text-align: center;">volatility: $23,000 \text{ mg m}^{-3}$</td> <td style="text-align: center;">$2,000 \text{ mg m}^{-3}$</td> <td style="text-align: center;">560 mg m^{-3}</td> <td style="text-align: center;">770 mg m^{-3}</td> </tr> <tr> <td style="text-align: center;">$\text{LCt}_{50}: 150 \text{ mg min m}^{-3}$</td> <td style="text-align: center;">60 mg min m^{-3}</td> <td style="text-align: center;">fast</td> <td style="text-align: center;">60 mg min m^{-3}</td> </tr> <tr> <td style="text-align: center;">toxic manifestation: fast</td> <td style="text-align: center;">fast</td> <td style="text-align: center;">fast</td> <td style="text-align: center;">fast</td> </tr> </table>	(GB) سارین	(GD) سومان	(GA) زیوان	(GF) سکاوهکربل سارین	$\begin{array}{c} \text{O} \\ \\ \text{CH}_3-\text{P}-\text{F} \\ \\ \text{OCH}(\text{CH}_3)_2 \end{array}$	$\begin{array}{c} \text{O} \\ \\ \text{CII}_3-\text{P}-\text{F} \\ \\ \text{OCHC}(\text{CH}_3)_3 \\ \\ \text{CH}_3 \end{array}$	$\begin{array}{c} \text{O} \\ \\ \text{C}_2\text{H}_5\text{O}-\text{P}=\text{CN} \\ \\ \text{N}(\text{CH}_3)_2 \end{array}$	$\begin{array}{c} \text{O} \\ \\ \text{CH}_3-\text{P}-\text{F} \\ \\ \text{O}-\text{C}_6\text{H}_5 \end{array}$	volatility: $23,000 \text{ mg m}^{-3}$	$2,000 \text{ mg m}^{-3}$	560 mg m^{-3}	770 mg m^{-3}	$\text{LCt}_{50}: 150 \text{ mg min m}^{-3}$	60 mg min m^{-3}	fast	60 mg min m^{-3}	toxic manifestation: fast	fast	fast	fast	<table border="1"> <tr> <td style="text-align: center;">(RDX) روسی</td> </tr> <tr> <td style="text-align: center;"> $\begin{array}{c} \text{O} \\ \\ \text{CH}_3-\text{P}-\text{F} \\ \\ \text{OCHCH}_2\text{CH}_3 \\ \\ \text{CH}_3 \end{array}$ </td> </tr> <tr> <td style="text-align: center;">fast</td> </tr> </table>	(RDX) روسی	$\begin{array}{c} \text{O} \\ \\ \text{CH}_3-\text{P}-\text{F} \\ \\ \text{OCHCH}_2\text{CH}_3 \\ \\ \text{CH}_3 \end{array}$	fast											
(CG) فوسزن	(CI) کلوراژن	(PS) کلرو-پکرین																																																	
COCl_2	Cl_2	CNO_2Cl_3																																																	
volatility: $6 \times 10^6 \text{ mg m}^{-3}$	$1.9 \times 10^7 \text{ mg m}^{-3}$	$1.7 \times 10^5 \text{ mg m}^{-3}$																																																	
$\text{LCt}_{50}: 3,200 \text{ mg min m}^{-3}$	$19,000 \text{ mg min m}^{-3}$	$2,000 \text{ mg min m}^{-3}$																																																	
toxic manifestation: slow	fast	fast																																																	
(GB) سارین	(GD) سومان	(GA) زیوان	(GF) سکاوهکربل سارین																																																
$\begin{array}{c} \text{O} \\ \\ \text{CH}_3-\text{P}-\text{F} \\ \\ \text{OCH}(\text{CH}_3)_2 \end{array}$	$\begin{array}{c} \text{O} \\ \\ \text{CII}_3-\text{P}-\text{F} \\ \\ \text{OCHC}(\text{CH}_3)_3 \\ \\ \text{CH}_3 \end{array}$	$\begin{array}{c} \text{O} \\ \\ \text{C}_2\text{H}_5\text{O}-\text{P}=\text{CN} \\ \\ \text{N}(\text{CH}_3)_2 \end{array}$	$\begin{array}{c} \text{O} \\ \\ \text{CH}_3-\text{P}-\text{F} \\ \\ \text{O}-\text{C}_6\text{H}_5 \end{array}$																																																
volatility: $23,000 \text{ mg m}^{-3}$	$2,000 \text{ mg m}^{-3}$	560 mg m^{-3}	770 mg m^{-3}																																																
$\text{LCt}_{50}: 150 \text{ mg min m}^{-3}$	60 mg min m^{-3}	fast	60 mg min m^{-3}																																																
toxic manifestation: fast	fast	fast	fast																																																
(RDX) روسی																																																			
$\begin{array}{c} \text{O} \\ \\ \text{CH}_3-\text{P}-\text{F} \\ \\ \text{OCHCH}_2\text{CH}_3 \\ \\ \text{CH}_3 \end{array}$																																																			
fast																																																			
عامل اعصاب																																																			
<table border="1"> <tr> <td style="text-align: center;">(HD) گاز خردل</td> <td style="text-align: center;">(LD) لوبریت</td> <td style="text-align: center;">(HN1) خردل نترودون</td> </tr> <tr> <td style="text-align: center;">$(\text{ClCH}_2\text{CH}_2)_2\text{S}$</td> <td style="text-align: center;">$\text{ClCH}=\text{CHAsCl}_2$</td> <td style="text-align: center;">$(\text{ClCH}_2\text{CH}_2)_2\text{NC}_2\text{H}_5$</td> </tr> <tr> <td style="text-align: center;">volatility: 600 mg m^{-3}</td> <td style="text-align: center;">$4,500 \text{ mg m}^{-3}$</td> <td style="text-align: center;">$\text{HN2} (\text{ClCH}_2\text{CH}_2)_2\text{NCH}_3$</td> </tr> <tr> <td style="text-align: center;">$\text{LCt}_{50}: 1,500 \text{ mg min m}^{-3}$</td> <td style="text-align: center;">$1,500 \text{ mg min m}^{-3}$</td> <td style="text-align: center;">$\text{HN3} (\text{ClCH}_2\text{CH}_2)_3\text{N}$</td> </tr> <tr> <td style="text-align: center;">slow</td> <td style="text-align: center;">fast</td> <td style="text-align: center;">$1,700, 3,600, 130 \text{ mg m}^{-3}$</td> </tr> <tr> <td style="text-align: center;"></td> <td style="text-align: center;"></td> <td style="text-align: center;">$1,500, 3,000, 1,500 \text{ mg min m}^{-3}$</td> </tr> <tr> <td style="text-align: center;">toxic manifestation: fast</td> <td style="text-align: center;">fast</td> <td style="text-align: center;">slow</td> </tr> </table>	(HD) گاز خردل	(LD) لوبریت	(HN1) خردل نترودون	$(\text{ClCH}_2\text{CH}_2)_2\text{S}$	$\text{ClCH}=\text{CHAsCl}_2$	$(\text{ClCH}_2\text{CH}_2)_2\text{NC}_2\text{H}_5$	volatility: 600 mg m^{-3}	$4,500 \text{ mg m}^{-3}$	$\text{HN2} (\text{ClCH}_2\text{CH}_2)_2\text{NCH}_3$	$\text{LCt}_{50}: 1,500 \text{ mg min m}^{-3}$	$1,500 \text{ mg min m}^{-3}$	$\text{HN3} (\text{ClCH}_2\text{CH}_2)_3\text{N}$	slow	fast	$1,700, 3,600, 130 \text{ mg m}^{-3}$			$1,500, 3,000, 1,500 \text{ mg min m}^{-3}$	toxic manifestation: fast	fast	slow	<table border="1"> <tr> <td style="text-align: center;">(I) اشک آور</td> <td style="text-align: center;">(CS) کلرو-بیتریل</td> <td style="text-align: center;">(A) استخراج</td> </tr> <tr> <td style="text-align: center;"> $\text{Cl}-\text{COCH}_2\text{Cl}$ </td> <td style="text-align: center;"> $\text{Cl}-\text{CH}=\text{C}(\text{CN})_2$ </td> <td style="text-align: center;"> $\begin{array}{c} \text{H} \\ \\ \text{As} \\ \\ \text{Cl} \\ \\ \text{C}_6\text{H}_5 \end{array}$ </td> </tr> <tr> <td style="text-align: center;">volatility: 34 mg m^{-3}</td> <td style="text-align: center;">0.71 mg m^{-3}</td> <td style="text-align: center;">fast</td> </tr> <tr> <td style="text-align: center;">$\text{LCt}_{50}: 7,000 \text{ mg min m}^{-3}$</td> <td style="text-align: center;">$61,000 \text{ mg min m}^{-3}$</td> <td style="text-align: center;">b.p. 410°C</td> </tr> <tr> <td style="text-align: center;">fast</td> <td style="text-align: center;">fast</td> <td style="text-align: center;"></td> </tr> </table>	(I) اشک آور	(CS) کلرو-بیتریل	(A) استخراج	$\text{Cl}-\text{COCH}_2\text{Cl}$	$\text{Cl}-\text{CH}=\text{C}(\text{CN})_2$	$\begin{array}{c} \text{H} \\ \\ \text{As} \\ \\ \text{Cl} \\ \\ \text{C}_6\text{H}_5 \end{array}$	volatility: 34 mg m^{-3}	0.71 mg m^{-3}	fast	$\text{LCt}_{50}: 7,000 \text{ mg min m}^{-3}$	$61,000 \text{ mg min m}^{-3}$	b.p. 410°C	fast	fast		<table border="1"> <tr> <td style="text-align: center;">(T) شبیه عامل</td> </tr> <tr> <td style="text-align: center;"> $\begin{array}{c} \text{O} \\ \\ (\text{CH}_3)_2\text{CHO}-\text{P}-\text{F} \\ \\ \text{OCH}(\text{CH}_3)_2 \end{array}$ </td> <td style="text-align: center;"> $\begin{array}{c} \text{O} \\ \\ \text{CH}_3-\text{P}-\text{OCH}(\text{CH}_3)_2 \\ \\ \text{OCH}(\text{CH}_3)_2 \end{array}$ </td> <td style="text-align: center;"> $\begin{array}{c} \text{O} \\ \\ \text{CH}_3-\text{O}-\text{P}=\text{OCH}_3 \\ \\ \text{OCH}_3 \end{array}$ </td> <td style="text-align: center;"> $\begin{array}{c} \text{O} \\ \\ \text{C}_2\text{H}_5\text{O}-\text{P}=\text{OCH}_2\text{H}_5 \\ \\ \text{OC}_2\text{H}_5 \end{array}$ </td> </tr> <tr> <td style="text-align: center;">volatility: $6,300 \text{ mg m}^{-3}$</td> <td style="text-align: center;">$4,100 \text{ mg min m}^{-3}$</td> <td style="text-align: center;">b.p. 197°C</td> <td style="text-align: center;">b.p. 215°C</td> </tr> <tr> <td style="text-align: center;">Toxic manifestation: fast</td> <td style="text-align: center;">fast</td> <td style="text-align: center;"></td> <td style="text-align: center;"></td> </tr> </table>	(T) شبیه عامل	$\begin{array}{c} \text{O} \\ \\ (\text{CH}_3)_2\text{CHO}-\text{P}-\text{F} \\ \\ \text{OCH}(\text{CH}_3)_2 \end{array}$	$\begin{array}{c} \text{O} \\ \\ \text{CH}_3-\text{P}-\text{OCH}(\text{CH}_3)_2 \\ \\ \text{OCH}(\text{CH}_3)_2 \end{array}$	$\begin{array}{c} \text{O} \\ \\ \text{CH}_3-\text{O}-\text{P}=\text{OCH}_3 \\ \\ \text{OCH}_3 \end{array}$	$\begin{array}{c} \text{O} \\ \\ \text{C}_2\text{H}_5\text{O}-\text{P}=\text{OCH}_2\text{H}_5 \\ \\ \text{OC}_2\text{H}_5 \end{array}$	volatility: $6,300 \text{ mg m}^{-3}$	$4,100 \text{ mg min m}^{-3}$	b.p. 197°C	b.p. 215°C	Toxic manifestation: fast	fast		
(HD) گاز خردل	(LD) لوبریت	(HN1) خردل نترودون																																																	
$(\text{ClCH}_2\text{CH}_2)_2\text{S}$	$\text{ClCH}=\text{CHAsCl}_2$	$(\text{ClCH}_2\text{CH}_2)_2\text{NC}_2\text{H}_5$																																																	
volatility: 600 mg m^{-3}	$4,500 \text{ mg m}^{-3}$	$\text{HN2} (\text{ClCH}_2\text{CH}_2)_2\text{NCH}_3$																																																	
$\text{LCt}_{50}: 1,500 \text{ mg min m}^{-3}$	$1,500 \text{ mg min m}^{-3}$	$\text{HN3} (\text{ClCH}_2\text{CH}_2)_3\text{N}$																																																	
slow	fast	$1,700, 3,600, 130 \text{ mg m}^{-3}$																																																	
		$1,500, 3,000, 1,500 \text{ mg min m}^{-3}$																																																	
toxic manifestation: fast	fast	slow																																																	
(I) اشک آور	(CS) کلرو-بیتریل	(A) استخراج																																																	
$\text{Cl}-\text{COCH}_2\text{Cl}$	$\text{Cl}-\text{CH}=\text{C}(\text{CN})_2$	$\begin{array}{c} \text{H} \\ \\ \text{As} \\ \\ \text{Cl} \\ \\ \text{C}_6\text{H}_5 \end{array}$																																																	
volatility: 34 mg m^{-3}	0.71 mg m^{-3}	fast																																																	
$\text{LCt}_{50}: 7,000 \text{ mg min m}^{-3}$	$61,000 \text{ mg min m}^{-3}$	b.p. 410°C																																																	
fast	fast																																																		
(T) شبیه عامل																																																			
$\begin{array}{c} \text{O} \\ \\ (\text{CH}_3)_2\text{CHO}-\text{P}-\text{F} \\ \\ \text{OCH}(\text{CH}_3)_2 \end{array}$	$\begin{array}{c} \text{O} \\ \\ \text{CH}_3-\text{P}-\text{OCH}(\text{CH}_3)_2 \\ \\ \text{OCH}(\text{CH}_3)_2 \end{array}$	$\begin{array}{c} \text{O} \\ \\ \text{CH}_3-\text{O}-\text{P}=\text{OCH}_3 \\ \\ \text{OCH}_3 \end{array}$	$\begin{array}{c} \text{O} \\ \\ \text{C}_2\text{H}_5\text{O}-\text{P}=\text{OCH}_2\text{H}_5 \\ \\ \text{OC}_2\text{H}_5 \end{array}$																																																
volatility: $6,300 \text{ mg m}^{-3}$	$4,100 \text{ mg min m}^{-3}$	b.p. 197°C	b.p. 215°C																																																
Toxic manifestation: fast	fast																																																		
شبیه عامل																																																			
<table border="1"> <tr> <td style="text-align: center;">(CFPS) گلرو اتيل اتيل سولفید</td> <td style="text-align: center;">(TX) نو-اکسان</td> <td style="text-align: center;">(ME) مرکب اتو انالول</td> <td style="text-align: center;">(ATTC) آتل ابرو تو سیستات</td> </tr> <tr> <td style="text-align: center;">$\text{ClCH}_2\text{CH}_2\text{SCH}_2\text{CH}_2\text{Cl}_3$</td> <td style="text-align: center;">O</td> <td style="text-align: center;">$\text{HOCH}_2\text{CH}_2\text{SH}$</td> <td style="text-align: center;">$\text{CH}_2=\text{CHCH}_2\text{N}=\text{C=S}$</td> </tr> <tr> <td style="text-align: center;">b.p. 156°C</td> <td style="text-align: center;">b.p. 147°C</td> <td style="text-align: center;">$4,600 \text{ mg min m}^{-3}$</td> <td style="text-align: center;">b.p. 152°C</td> </tr> <tr> <td style="text-align: center;">fast</td> <td style="text-align: center;">fast</td> <td style="text-align: center;">fast</td> <td style="text-align: center;">fast</td> </tr> </table>	(CFPS) گلرو اتيل اتيل سولفید	(TX) نو-اکسان	(ME) مرکب اتو انالول	(ATTC) آتل ابرو تو سیستات	$\text{ClCH}_2\text{CH}_2\text{SCH}_2\text{CH}_2\text{Cl}_3$	O	$\text{HOCH}_2\text{CH}_2\text{SH}$	$\text{CH}_2=\text{CHCH}_2\text{N}=\text{C=S}$	b.p. 156°C	b.p. 147°C	$4,600 \text{ mg min m}^{-3}$	b.p. 152°C	fast	fast	fast	fast																																			
(CFPS) گلرو اتيل اتيل سولفید	(TX) نو-اکسان	(ME) مرکب اتو انالول	(ATTC) آتل ابرو تو سیستات																																																
$\text{ClCH}_2\text{CH}_2\text{SCH}_2\text{CH}_2\text{Cl}_3$	O	$\text{HOCH}_2\text{CH}_2\text{SH}$	$\text{CH}_2=\text{CHCH}_2\text{N}=\text{C=S}$																																																
b.p. 156°C	b.p. 147°C	$4,600 \text{ mg min m}^{-3}$	b.p. 152°C																																																
fast	fast	fast	fast																																																

شکل (۱) ساختارها و خواص عوامل جنگ شیمیایی و شبیه عواملها

کروماتوگرافی لایه نازک (TLC) یکی از روش‌های تجزیه می‌باشد که اجازه تشخیص و تعیین پیش‌ماده‌های تولید عوامل جنگ شیمیایی، خود عوامل و محصولات حاصل از آن‌ها را می‌دهد. کروماتوگرافی لایه نازک در میانه قرن بیستم به دلیل مزایایی مانند سادگی، ارزان بودن، عملکرد آسان و نیاز به مقدار کمی حلal، به طور گسترده در زمینه‌های مختلف جداسازی و یا

تعیین میزان خلوص ترکیبات زیستی و شیمیایی مورد استفاده قرار می‌گیرد. از آنجایی که از یک صفحه جدید در هر جداسازی استفاده می‌شود، مشکل اثر حافظه که در اکثر تکنیک‌های کروماتوگرافی اتفاق می‌افتد، در جداسازی با کروماتوگرافی لایه نازک وجود ندارد و همین امر سبب می‌شود تا اغلب، کروماتوگرافی لایه نازک برای آنالیزهای مستقیم از نمونه‌های خام با کمترین خالص‌سازی نیز به کار رود. با توجه به عملکرد این روش در شرایط محیطی، کروماتوگرافی لایه نازک یک روش بسیار مناسب با توان عملیاتی بالا می‌باشد. به طور مثال نمونه‌های زیادی را می‌توان بر روی یک صفحه کروماتوگرافی لایه نازک نقطه‌گذاری کرد تا به طور همزمان جداسازی شوند، و یا می‌توان تعداد صفحات زیادی را در یک تانک فاز متحرک یکسان بررسی نمود. فاز ثابت برای کروماتوگرافی لایه نازک معمولاً لایه نازک معدنی و آلی مانند سیلیکا، آلکیل سیلیکا (C8-C18)، سلولز و پلیمرهای یکپارچه پوشیده روی یک فلز، پلاستیک یا ورق شیشه‌ای می‌باشند. فاز متحرک برای آنالیز کروماتوگرافی لایه نازک معمولاً حلال‌های آلی آبگریز هستند. در طول جداسازی لبه صفحه کروماتوگرافی لایه نازک درون فاز متحرک قرار داده شده و از طریق نیروی مؤینگی حرکت می‌کند. تنوع نیروهای برهمکنش بین مولکول‌های آنالیت، فاز متحرک و فاز ثابت موجب می‌شود که آنالیت‌های مختلف سرعت‌های متفاوتی را در حرکت بر روی صفحه کروماتوگرافی لایه نازک نشان دهند. جداسازی ترکیبات شیمیایی بر روی صفحه کروماتوگرافی لایه نازک به صورت کمی با اصطلاحی به نام R_f (فاصله بین مهاجرت آنالیت / فاصله مهاجرت حلال) بیان می‌شود.

پس از جداسازی کروماتوگرافی لایه نازک، ترکیبات جدا شده بر روی صفحه خود به خود ظاهر شده و یا در برخی موارد آشکارسازی می‌شوند. نمونه نقطه‌گذاری شده معمولاً با استفاده از اسپری کردن یا غوطه وردکردن صفحه کروماتوگرافی لایه نازک به‌طوری که آنالیت‌ها در تماس با معرفه‌ای شیمیایی و یا بیولوژیکی باشند، آشکارسازی می‌شود. در این مرحله، واکنش یا برهمکنش بین معرفه‌ها و گروه‌های عاملی مولکول‌های آنالیت رخ می‌دهد. (Siouffi, A. M. 2005, Sherma, J. 2008, Sherma, J. 2010).

تاریخچه TLC، توسط استال^۱ (۱۹۶۹)، هفتمن^۲ (۱۹۷۵)، کرچنر^۳ (۱۹۷۵، ۱۹۷۸ و ۱۹۸۰)، پلیک^۴ (۱۹۶۶)، وایمر^۱ (۱۹۸۶)، وینترمیر^۲ (۱۹۸۹) و بزرکین^۳ (۱۹۹۵) بررسی شده است.

¹. Stahl

². Heftmann

³. Kirchner

⁴. Pelick

ساکودیانسکی^۴ در سال ۱۹۹۲، مشارکت‌های تسوت^۵، مخترع کروماتوگرافی را در توسعه کروماتوگرافی مسطح مورد بحث قرار داد. بیشتر مورخان کروماتوگرافی، تاریخ ظهور کروماتوگرافی لایه نازک را در سال ۱۹۵۸ ذکر کرده‌اند. پلیک و همکاران در سال ۱۹۹۶ پیشرفت‌های اولیه در زمینه TLC را بررسی کرده‌اند، همچنین پلیک و برزکین در سال‌های ۱۹۹۵ و ۱۹۹۶ مطالعات کلاسیک دانشمندانی مانند استال و شریاب^۶ را در زمینه TLC ترجمه کردند. پیشرفت عمده در این زمینه در اوایل دهه ۱۹۶۰ با دسترسی تجاری به صفحات از پیش ساخته مناسب تهیه شد. این نوآوری توسط پرزبیلوبویز و همکارانش در سال ۱۹۶۵ مورد بررسی قرار گرفت. امروزه تعداد کمی از صفحات، آن هم در صورتی که به لایه‌ای نیاز باشد که در دسترس نیستند، در آزمایشگاه آماده می‌کنند. کروماتوگرافی لایه نازک کمی، برای اولین بار توسط کرچنر و همکارانش در سال ۱۹۵۴ برای تعیین بفنیل در میوه‌های مرکبات توصیف شد. از کروماتوگرافی لایه نازک می‌توان برای بررسی نمونه‌های با منشأ نامشخص نیز که ملزم به تجزیه و تحلیل هستند، استفاده کرد. ارتش برخی کشورها، نظریه لهستان، در آموزش‌های خود برای افرادشان هنوز هم از روش کروماتوگرافی لایه نازک استفاده می‌کنند، به‌گونه‌ای که دستگاه‌ها و دستورالعمل آن‌ها هنوز هم در بینشان وجود دارد. برای آنالیز با کروماتوگرافی لایه نازک نمونه‌ها باید به صورت محلول باشند. اگر مواد مورد بررسی بر روی دیواره راکتور شیمیایی، سطح تجهیزات آلوده و یا بقایای یک موشک قرار گرفته باشند، اینگونه سطوح با پارچه یا پلی استر پاک شده و سپس ماده شیمیایی با حلal مناسب، به عنوان مثال، دی کلرومتان، هگزان و یا استون استخراج می‌شود. همچنین نمونه‌های خاکی و آبی نیز با حلal استخراج می‌شوند. نمونه‌های استخراج شده می‌توانند در صورت لزوم تغییظ شوند. شناسایی یک جزء نمونه بر روی یک صفحه توسط مقایسه رنگ به دست آمده با یک استاندارد مشخص تحقق می‌یابد. در صورتی که محصولات با شاخص رنگ مختلف برای یک عامل جنگ شیمیایی معلوم بکار رود، برای افزایش اطمینان از شناسایی، چند معرف می‌تواند مورد استفاده قرار گیرد. علاوه بر رنگ آنالیت، فرآیند شناسایی بر اساس ضریب تأخیر یک نقطه معلوم در مقایسه با فاز متحرک (R_F) نیز می‌باشد. سپس، مقدار ضریب با مقدار متناظر این عامل برای یک

¹. Wimmer². Wintermeyer³. Berezkin⁴. Sakodynskii⁵. Tswett⁶ Schraiber

استاندارد، مقایسه می‌شود. در مورد زمانی که یک ماده سمی به تنها یی، بدون هیچ گونه مواد افزودنی، وجود دارد، می‌توان آن را بر روی یک صفحه کروماتوگرافی بدون توسعه کروماتوگرام شناسایی کرد. آنالیز نقطه، با استفاده از یک یا چند معرف در صورت محصولات رنگی با ماده (مجھول) شناسایی شده، انجام می‌شود (Quagliano, J. C.). کروماتوگرافی مایع عملکرد بالا با طیف سنجی جرمی (HPLC-MS) روشی است که بارها و بارها برای آنالیز عوامل چنگ شیمیایی استفاده شده است. این روش‌های تحلیلی بسیار کارآمد هستند، اما گران قیمت بوده و نیاز به برخی دستگاه‌های پیچیده دارند (Quagliano, J. C.).

آنالیز ترکیبات عوامل جنگ شیمیایی

کروماتوگرافی لایه نازک برای تفکیک و آنالیز عوامل جنگ ارگانوفسفره در حضور بیست و دو نوع سوم آفتکش استفاده شده است عوامل جنگ شیمیایی شامل: تابون، سارین، سومان، دی‌ایزو پروپیل فلوئورفسفات (DFP) VX و سوم آفتکش متعلق به گروه‌های ارگانوکلره (۵)، ارگانوفسفره (۱۳)، کاربامات (۲) و ترکیبات اوره (۲) بودند. ترکیب بهینه شوینده‌های مخلط (فاز متحرک) با استفاده از مدل PRISMA^۱ تشییت شد. کروماتوگرام‌ها به فاصله ۶ سانتی‌متر در مسیر اول با دی‌ایزوپروپیل اتر - بنزن- تتراهیدروفوران - نرمال هگزان (۱۰ + ۱۱ + ۵ + ۷ + ۷) V/V و به فاصله ۶ سانتی‌متر در مسیر دوم با تتراهیدروفوران - نرمال هگزان (۳ + ۲) V/V. توسعه یافته‌اند. سه معرف افشاره A، B و C برای رؤیت ترکیبات آنالیز شده استفاده شد. معرف A یک محلول کولینواستراز^۲ در بافر بورات، معرف B یک محلول بوتیریتیوکولین^۳ یدید و میچلر هیدرول^۴ و معرف C یک محلول اشباع کبالتیک کلرید در استون بود. پس از تبخیر فاز متحرک، صفحه با معرف A اسپری شد، دریک آون در دمای ۳۷ درجه سانتیگراد به مدت ۱۵ دقیقه قرار داده شد و پس از آن به طور متوالی با معرف‌های B و C اسپری شد. حضور آنالیت به صورت نقاط آبی رنگ بر روی زمینه سفید مشخص شد. قدرت آشکارسازی ۱.۳ پیکوگرم برای تابون و ۴۸ نانوگرم برای VX بود و امکان تعیین عوامل جنگ ارگانوفسفره به صورت کمی در محدوده ۱۵ پیکوگرم تا ۱۰۰ نانوگرم وجود داشت (Quagliano, J. C.).

^۱- این مدل که برای بهینه سازی فاز متحرک در کروماتوگرافی لایه نازک می‌باشد. گستردگی حللاهای ترکیبات با قطبیت‌های کم و متوسط می‌باشد.

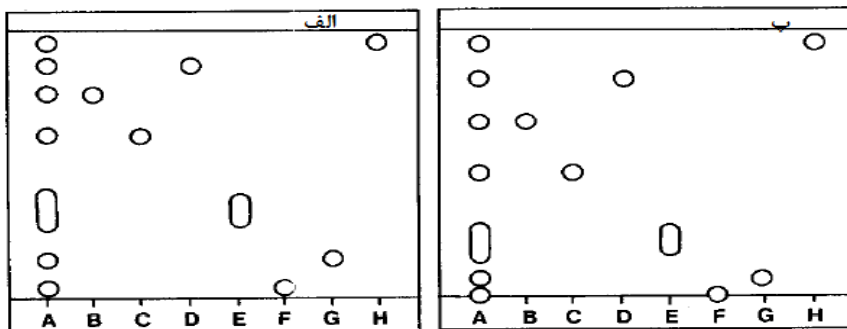
^۲. Cholinoesterase

^۳. Butyrythiocholine

^۴. Michler's hydrol

آنالیز عوامل تاولزا

مونوالی^۱ و همکارانش و آرا (Quagliano, J. C.). گاز خردل و متابولیت‌های آن در سیالات بیولوژیک را با کمک روش کروماتوگرافی لایه نازک آنالیز کردند. جداسازی بسیار خوب این مواد با استفاده از فاز متحرک حاوی کلروفرم و متانول (۱۰:۱) و کلروفرم و استیل نیتریل (۵:۱) برای پیش روی کروماتوگرام بدست آمد. مشاهده کروماتوگرام‌های آن‌ها با استفاده از محلول ۱٪ پتاسیم پرمنگنات در محلول ۶٪ سدیم کربنات^۲ و ۷٪^۳-پارا-نیتروبنتزیل پیریدین^۴ در استون به انجام رسید. گرم کردن یک صفحه برای مدت ۱۵ دقیقه در ۷۰°C و قرار دادن آن در معرض بخارات آمونیاک، در مکان‌هایی که در آن گاز خردل وجود داشت، منجر به تشکیل نقطه آبی رنگ شد. این روش اجازه شناسایی مقادیر کمتر از ۰.۵٪ میکروگرم گاز خردل را در هر نقطه می‌دهد. شکل ۲ صفحات TLC را بعد از معرف در دو حلال مختلف نشان می‌دهد.



(الف) کلروفرم و متانول (۱۰:۱)، (ب) کلروفرم و استیل نیتریل (۵:۱)، محلوت (۵:۱)، A=کلرو-۲-هیدروکسی سولفید، B=Solfuroکسید، C=Solfuron خردل، D=تیو دی گلیکول سولفوکسید، E=تیو دی گلیکول سولفوکسید، G=G و سولفور خردل=H
شکل ۲) جداسازی خردل و متابولیت‌های آن بر روی پلیت TLC، در دو سیستم فاز متحرک

آنالیز مخلوط حاوی CWAs متعلق به گروههای خاص

در صورت آنالیز مخلوطی از ۱۲ نوع ترکیب فسفر آلی، ترکیبات الکا کننده نکروسیس^۵ و محرك با استفاده از واکنش‌های آنزیمی، علاوه بر نقاط مربوط به ترکیبات فسفر آلی نقاط مربوط به گاز اشک‌آور (CN و CS) نیز ظاهر می‌شوند. نقاط این عامل‌ها با نقاط سارین و سومان همپوشانی دارند، از این‌رو آنالیز چنین مخلوطی باید در دو سیستم کروماتوگرافی انجام شود. در

¹ Munawalli

² KMnO₄

³ Na₂CO₃

⁴ 4,4'-p-nitrobenzylpiridine

⁵. necrosis-inducing coamounds

مورد اول مخلوطی از هگزان، دی اکسان و پیریدین (۸: ۱: ۲) را می‌توان به عنوان فاز متحرک بکار برد. توسعه یک کروماتوگرام با استفاده از واکنش‌های آنزیمی منجر به ظاهر شدن سارین (GB)، تابون (GA)، سومان (GD)، CS و CN شده و اسپری کروماتوگرام با معرف تالنس^۱ منجر به ظاهر شدن خردل، و نقاط CA، CS، CN و دی فنیل آمین آرسین (DM) می‌شود. در سیستم دوم با استفاده از دی کلرواتان و اتیل استات (۷: ۳) به عنوان فاز متحرک، جداسازی CS، CN و GB و همچنین GA حاصل می‌شود. در این سیستم، مقادیر R_F برای گاز اشک‌آور و عوامل سمی فسفری آلی به وضوح متفاوت بودند (Quagliano, J. C.).

بورسی برخی روش‌های نوین برای آنالیز و تشخیص عوامل جنگ شیمیایی
 با توجه به اهمیتی که CWAs دارند، روش‌های آشکارسازی مختلف و جدیدی نیز برای مطالعه آن‌ها رو به فزونی می‌باشد؛ این روش‌ها در تکمیل و یا بهبود روش‌های قدیمی می‌باشند. در بخش‌های قبلی مروری بر روش TLC برای شناسایی و آنالیز CWAs انجام گرفت. این روش یک روش قدیمی برای شناسایی CWAs می‌باشد، اما با این وجود، هم اکنون نیز برای ترکیبات مختلف از جمله مواد منفجره (Satcher, J. H., 2012, Lutonská, T., 2015)) و داروها (Thangaduraia, S, 2012., Yu, H., 2016) کاربرد دارد. بنابراین در این بخش، روش‌هایی جدیدی که برای آشکارسازی و آنالیز CWAs استفاده شده است، بیان می‌شود، برخی از این روش‌ها عبارتند از طیفسنج تحرک یونی^۲ (IMS)، روش‌های رنگ‌سنگی^۳، روش‌های فلورسانس^۴، آپتاسنسور^۵ و روش‌های دیگر که در ادامه بیان می‌شوند.

طیفسنج تحرک یونی (IMS) برای آنالیز بخارات عوامل جنگ شیمیایی به وسیله یونیزاسیون تخلیه کرونا توسط ساتوه و همکارانش (Satoh, T. 2015) در سال ۲۰۱۵ استفاده شد. رفتار تحرک یونی نوزده عامل جنگی شیمیایی (۷ عامل عصبی، ۵ عامل تاول زدگی، ۲ نوع اشک آور، ۲ عامل خونی، ۳ عامل شوک) و ترکیبات مربوطه شامل مشابهها (۸ عامل) و حللاهای آلی (۳۹ مورد) به طور قابل مقایسه‌ای توسط دستگاه طیف سنجی تحرک یونی بررسی شد. این دستگاه از میدان الکتریکی ضعیف با یونیزاسیون تخلیه نور، دوپه کردن آمونیاک، هوای خالص

^۱.Tollens reagent

^۲.Ion mobility spectrometric

^۳.Colorimetric

^۴.Fluorescence

^۵.Aptasensor

شده داخلی در جریان اعمال شده در دما و فشار محدود استفاده می‌کند، ویژگی بسیار خوب این روش تشخیص سریع این عوامل می‌باشد.

مقاله‌ای مروی از کاربرد نانوذرات طلا به عنوان سنسور در رنگ‌سنجدی و تشخیص فلورسانس عوامل جنگ شیمیایی در سال ۲۰۱۵ توسط یو و همکارانش (Yue, G. 2016) به چاپ رسیده است. نویسنده‌گان مقاله به دلایل زیر از طلا به عنوان یک سنسور برای این کار استفاده کردند، که عبارتند از:

- ۱) نانوذرات طلا طبق یک روش مستقیم با پایداری و سازگاری با محیط زیست در حضور لیگندهای پوششی مناسب آماده می‌شوند.
 - ۲) آن‌ها دارای خواص نوری و الکترونیکی منحصر به فرد هستند که به سرعت به ترکیبات کوچک یا یون‌های فلزی پاسخ می‌دهند.
 - ۳) نانوذرات طلا نسبت سطح به حجم بالایی را فراهم می‌کنند و به عنوان یک چهارچوب عالی برای تثبیت مقادیر بزرگ عناصر شیمیایی مورد استفاده قرار می‌گیرند. بنابراین به طور مهیجی امکان برهم کنش آن‌ها با آنالیت هدف افزایش می‌یابد.
- یک ویژگی کلیدی نانوذرات طلا جذب پلاسمون آن‌ها در ناحیه مرئی یا مادون قرمز نزدیک است. پاسخ پلاسمون سطحی (SPR) از الکترون‌های آزاد در سطح فلزات ناشی می‌شود که با فوتون‌های مربوطه تشدید می‌شود. این پدیده پلاسمونیک در موادی که به سطح نانوذرات طلا بسیار نزدیک هستند، به شدت مشهود است. بنابراین کاربرد اصلی نانوذرات طلا در تهدید شیمیایی عوامل رنگ‌سنجدی و دریافت فلئورسانسی است. این روشی با حساسیت بالا و حدتشخیص پایین است.

استراتژی تشخیص نانوذرات طلا برای فلئورسانسی بر تغییر فلئورسانسی استوار است وقتی سیستم با هدف مواجه می‌شود به خاطر سطح اصلاح شده فلئورسانسی (SMF) یا انتقال انرژی رزونانس فلئورسانسی (FRET). SMF اصلاح فلئورسانس توسط میدان الکترومغناطیس است در حالی که FRET برایه تشدید انتقال انرژی اتفاق افتاده بین یک فلئورفور دهنده تحریک شده و یک فلئورفور پذیرنده با برهمنکش دوقطبی القایی می‌باشد. این CWAs توسط دریافت آسان و سریع با استفاده از رنگ‌سنجدی و خواص فلئورسانی نانوذرات طلای در دسترس که سنسورهای مفیدی حتی در مقیاس دقیقه هستند، قابل شناسایی هستند. چنین نانوذرات طلایی باید شامل گروه‌های سطحی قابل تغییر به منظور درگیر کردن CWAs باشند.

مقاله‌ای برای تشخیص مقادیر کم دی متیل فسفانات (DMMP) به عنوان ماده پیش‌ساز سارین با استفاده از آپتاسنسور در سال ۲۰۱۶ توسط ژائو و همکارانش (Zhao, R., 2016). به چاپ رسید. در این مقاله که با توجه به نیاز به تشخیص مقادیر بسیار کم سارین با نیمه عمر^۴ ۵ ساعت در ماتریکس‌های آبی برای حفاظت عمومی می‌باشد، از یک کانتی‌لور^۱ پیزوالکتریک حساس بر پایه آپتاسنسور در محلول‌های آبی، برای تشخیص DMMP استفاده شده است.

آپتامرها، با تولید یک سیگنال الکتریکی کوتاه، سبب می‌شوند که به طور محکم با مولکول هدف درگیر باشند و این خود موجب پایداری شیمیایی و حد تشخیص بسیار مناسب در فاز محلول می‌شود. در عمل ساخت آپتامرها اغلب دستخوش تغییر کافی با انتخاب پذیری بالا می‌شود. کانتی‌لورهای پیزوالکتریک حساس بر پایه سنسورها، به خاطر قابل حمل بودنشان و اندازه‌گیری درجای آن‌ها در محیط‌های آبی مورد توجه هستند، بنابراین نوین‌دگان مقاله با توجه به این دو ویژگی آپتاسنسور و کانتی‌لور توانستند یک رفتار خطی در تشخیص DMMP در گستردگی ۵۰ نانومولار تا ۱ میکرومولار و همچنین حد تشخیص زیر ۵۰ نانومولار در بافر نمکی فسفات در pH خنثی بدست آورند. آپتاسنسور تهیه شده در حضور آب سیب برای تشخیص DMMP مورد استفاده قرار گرفت که کاهش ۱۳ درصدی سیگنال خروجی نسبت به بافر نمکی فسفات داشت، و این به دلیل حضور پلی‌ساقاریدهایی می‌باشد که با پیوند طلا-گوگرد موجود در آپتاسنسور برهمکنش داشته و منجر به کاهش اندازه که در حساسیت شوند.

در سال ۲۰۱۶ مقاله‌ای برای تشخیص مشابه عوامل جنگ شیمیایی توسط سیاگو و همکارانش (Sayago, I. 2016) به چاپ رسید. در این مقاله از گرافن اکسید به عنوان یک لایه حساس در سنسورهای امواج صوتی استفاده شد. فیلم‌های حساس توسط رنگ پاشی گرافن اکسید دیسپرس شده روی دستگاه‌های امواج لاو^۲ ساخته شدند. سنسورهای امواج لاو حاصل، غلظت‌های بسیار کم از DMMP را به عنوان یک ماده پیش‌ساز (مشابه) برای سارین و DPGME را به عنوان ماده پیش‌ساز برای خردل نیتروژن در دمای اتاق تشخیص دادند. برهمکنش قوی گرافن اکسید با آنالیت‌های هدف به دلیل وجود ساختار دوبعدی و گروه‌های اکسیژن دار منجر به کاربرد گستردگی دارند، این است که در دمای اتاق عمل می‌کنند و بنابراین بزرگی که سنسورهای امواج صوتی دارند، این است که در دمای اتاق عمل می‌کنند و بنابراین

^۱.Cantilever

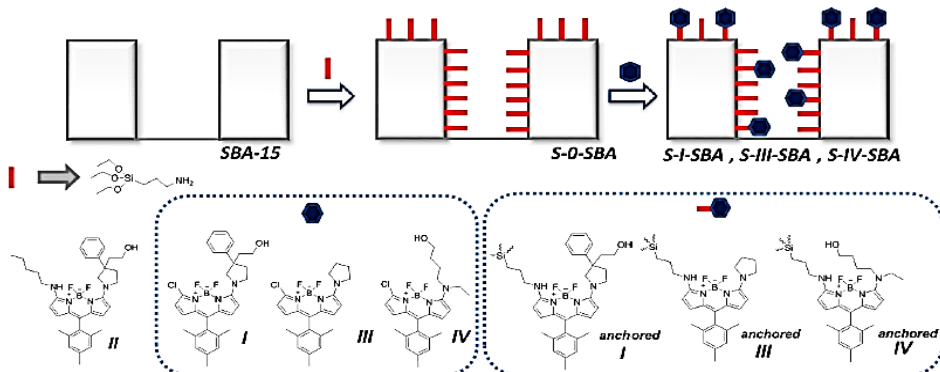
^۲. Love-wave

نیاز به گرم کردن ندارند. پاسخ بسیار حساس سنسورهای بر پایه گرافن اکسید، به دلیل تشکیل پیوند هیدروژنی بین مشابههای CWA_s و گرافن اکسید است.

مقاله‌ای در سال ۲۰۱۶ توسط ژائو و همکارانش (Zhao, Q. 2017) برای تشخیص بسیار حساس عوامل اعصاب با استفاده از طیف سنجی رامان افزایشی سطحی (SERS) چاپ شد. در این مقاله، متان فسفونیک اسید (MPA)، به عنوان یک شبه عامل سارین، به وسیله اصلاح سطح مواد با روش SERS تشخیص داده شد. در این روش آنالیت هدف بر روی سطح فلز (در اینجا طلا) جذب سطحی شد که افزایش سیگنال رامان را در پی داشت. سطح آرایه طلای پوشش داده شده با نانومخروط سیلیسیوم به وسیله ۲-آمینو اتان تیول اصلاح شد و به عنوان بستر SERS برای تشخیص MPA مورد استفاده قرار گرفت. نتایج حاکی از آن است که ماده اصلاح شده می‌تواند مولکول‌های MPA را در محلول با جفت کردن عامل و تحریک واکنش آمیداسیون به دام بیاندازد. محصولات واکنش هنوز هم مرز یا متصل به سطح ماده هستند. مولکول‌های MPA بنابراین می‌توانند توسط اندازه گیری طیف رامان ماده SERS محلول دتکت شوند. حد تشخیص کمینه زیر ۱ ppm می‌باشد.

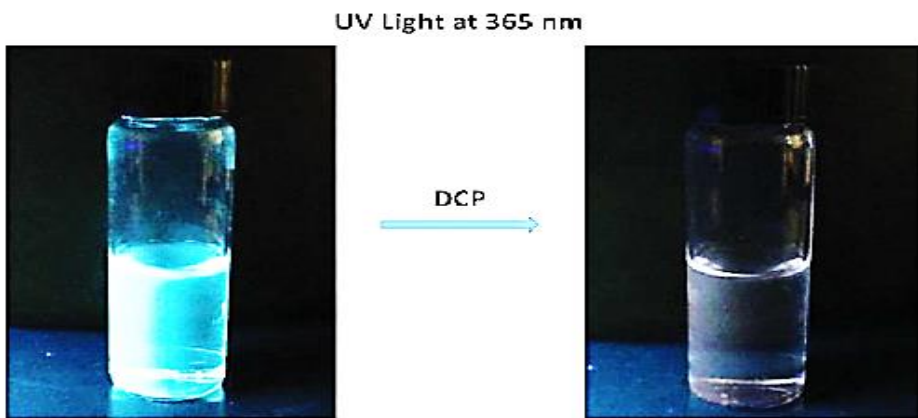
کلایمنت و همکارانش (Climent, E. 2017) در سال ۲۰۱۷ در مقاله‌ای برای تعیین عوامل اعصاب در آب‌های طبیعی با استفاده از یک سیلیس مزوحفه با روش فلورسنت به حد تشخیصی در محدوده پیکومولار برای این ترکیبات دست یافتند. در این مقاله، مطالعه جامعی بر روی مواد سیلیکا ترکیبی با رنگ برای تعیین GA، GB و GD در آب صورت گرفت. بین شناساگرها و دیواره داخلی مواد سیلیکای مزوحفه اتصالات برقرار است، چنین اتصالی، از تجمع جلوگیری کرده و از طرف دیگر منجر به پیش بالقوه واکنش با مولکول هدف را در مقایسه با روی سطح میزان می‌گردد. این امر، به طور بالقوه واکنش با مولکول هدف را در متشکل از SBA-15 SI-SBA متشکل از ذرات سیلیس مزوحفه حاوی بور-دی کلرو متان (BODIPY) با بخش‌هایی با توزیع یکنواخت (شکل ۳)، به دلیل ویژگی‌های مناسب در مساحت سطح خاص، حضور منافذ، سایز حفره و توزیع گروههای BODIPY انتخاب شد. در نتیجه، یک ماده با شناساگر قوی برای تشخیص عوامل شیمیایی جنگ از سری‌های G و شبه عامل اعصاب در نمونه‌های واقعی آبی، تهیه شد. شناساگر BODIPY شامل یک گروه هیدروکسیل با موقعیت بهینه است که می‌تواند تحت واکنش آسیلاسیون با بسترهای فسفونات قرار گرفته و حدواسط مشتقات استری فسفاآنات را تشکیل دهد. این حدواسط‌ها تحت یک N-آلکیلاسیون درون مولکولی سریع است، یک محصول

دو حلقه‌ای تولید می‌کنند. بر عکس شناساگر با فلورسنت بالا، محصول واکنش عملاً غیرفلورسنت است.



شکل ۳) شماتیک از مواد تهیه شده و ساختارهای شیمیایی پیش‌ماده‌های شناساگر و ترکیبات مرجع I-IV استفاده شده در این کار

سنسور هیدروژل هوشمند برای تشخیص عوامل عصبی جنگ شیمیایی ارگانوفسفرها عنوان مقاله‌ای است که در سال ۲۰۱۷ توسط وايتاکر و همکارنش (Whitaker, C. M. 2017) به چاپ رسیده است. در این مقاله، سنسور هیدروژل هوشمند به عنوان یک فلئورسانس خاموش جدید برای تشخیص یک شبه عامل عصبی توسعه یافته و مورد آزمایش قرار گرفت. سنسور شیمیایی هیدروژل هوشمند سرعت به شدت بالایی را نشان داد و به انتخاب تشخیص خاموشی فلئورسانسی به شبه سارین در اتیل کلروفسفات در فازهای بخار و محلول پاسخ داد. سنسورهای فلئورو ارگانیک از ۶ و ۷-دی هیدروکسی کومارین استفاده می‌کنند که در یک ماتریکس هیدروژل پلی آکریلامید به عنوان مواد تشخیص دهنده فلئورسانس جاسازی شده است. خاموشی سریع فلئورسانسی فیلم‌های هیدروژل هوشمند می‌توانند به آسانی با چشم غیرمسلح با استفاده از یک لامپ UV دستی در طول موج ۳۶۵ نانومتر مشاهده شوند که کاربرد عملی آن‌ها در زمان واقعی روی مکان‌هایی که در دید هستند، نشان می‌دهد. مزایای اصلی سنسورهای برپایه فلئورسانس‌ها گزینش پذیری بالای آن‌ها، پاسخ بسیار آنی و سریع و قیمت پایین است. سنسورهای بر پایه فلئورسانس همچنین می‌توانند مزیت تشخیص آنالیت در جاه، با چشم غیرمسلح و بدون هیچ گونه پیش تیمار یا استفاده از تجهیزات پیچیده را عرضه کنند (شکل ۴).



شکل ۴) تغییر رنگ مشاهده شده طی افزایش DCP به یک محلول آبی ۶ و ۷- دی هیدروکسی کومارین

مقایسه کروماتوگرافی لایه نازک با روش‌های نوین برای آنالیز عوامل چنگ شیمیایی در بخش‌های قبلی در مورد کروماتوگرافی لایه نازک و همچنین روش‌های نوین برای آنالیز عوامل چنگ شیمیایی مطالبی بیان شد. در جدول ۳ مقایسه‌ای از روش کروماتوگرافی لایه نازک و روش‌های نوین آورده شده است. دقت روش، حساسیت، زمان پاسخ و عملیاتی بودن روش، به عنوان شاخص‌های یک روش تشخیصی مناسب برای عوامل چنگ شیمیایی می‌باشد. در این میان کروماتوگرافی لایه نازک یک روش سریع، ساده و قابل حمل می‌باشد، با این حال نسبت به روش‌های دیگر از دقت کمتری برخوردار است. در میان روش‌های نوین، طیفسنج تحرک یونی، به دلیل دقت و حساسیت خوب و همچنین قابل حمل بودن آسان نسبت به روش‌های دیگر برتری دارد. همچنین این روش به دلیل ارزان بودن نسبت به روش‌های مانند آپتاسنسور و فلورسانس برتری نسبی دارد. با این حال ترکیب کردن این روش با روش‌های مانند کروماتوگرافی گازی در مقایسه با کروماتوگرافی لایه نازک مشکل‌تر می‌باشد. هنگامی که کروماتوگرافی لایه نازک با روش‌هایی مانند طیفسنج جرمی و طیفسنج مادون قرمز ترکیب شود، دارای دقت بهتری خواهد شد. در میان روش‌های نوین، سنسورهای هیدروژل به دلیل، قابلیت در کنترل دما و pH نسبت به دیگر روش‌های به طور انتخابی‌تری عمل می‌کنند ولی از آنجایی که، گستردگی ترکیبات مورد استفاده کم می‌باشد، از کارایی کمتری نسبت به دیگر روش‌ها برخوردار است. در جدول ۲ مقایسه روش‌های مختلف مشاهده می‌شود.

جدول ۲- مقایسه کروماتوگرافی لایه نازک با روش‌های نوین آنالیز عوامل جنگ شیمیایی

روش	مزایا	معایب
کاربرد ساده زمان آزمایش کوتاه شناسایی و جداسازی مقادیر ناچیز استفاده از معرفه‌های متعدد جدازای هم‌زمان چند نمونه قابل حمل بودن ترکیب کردن آسان با تکنیک‌های دیگر	دقت کم نسبت به روش‌های دیگر	
زمان آنالیز سریع دقت بالا حساسیت بالا	گران بودن نیاز به تخصص نیاز به منبع پوئیزاسیون رادیو اکتیو مانند ^{63}Ni ترکیب کردن با دستگاه‌های دیگر مشکل‌تر	
روشی آسان سریع انتخابی حد تشخیص کم	استفاده برای ترکیبات با گروه عاملی خاص غیر قابل حمل	
روشی سریع حد تشخیص مناسب	غیر قابل حمل استفاده برای ترکیبات خاص نیاز به ترکیبات خاص برای ایجاد طول موج تحریک	
دقت بالا حد تشخیص کم انتخابی	گران بودن استفاده برای ترکیبات خاص غیر قابل حمل نیاز به تخصص بالا	
روشی آسان نسبتاً ارزان کنترل با دما و pH	محدوده کاری در دما و pH خاص استفاده برای ترکیبات خاص	

نتیجه گیری

برخی از عوامل جنگ شیمیایی به صورت جداگانه و مخلوط با استفاده از روش کروماتوگرافی لایه نازک مورد بررسی قرار گرفت. با توجه به پیشرفت علم و تنوع ترکیبات مختلف روش‌های بسیار زیادی برای شناسایی و تشخیص عوامل جنگ شیمیایی توسعه یافته است، که کارایی نه

چندان بالای روش کروماتوگرافی لایه نازک را برای این عوامل در پی داشته است. هرچند که هم اکنون نیز از این روش برای شناسایی و جداسازی ترکیبات و مواد مختلف، مانند داروها و مواد منفجره استفاده می‌شود. در بین روش‌های مورد بحث نقطه قوت کروماتوگرافی لایه نازک قابل حمل بودن آسان و همچنین ساده بودن آن می‌باشد، روش‌هایی مانند آپتاسنسور و فلورسانس به دلیل گران بودن، از جنبه عملیاتی پایینی برخوردار هستند، با این حال طیف‌سنج تحرک یونی، بهترین روش برای آنالیز عوامل جنگ شیمیایی می‌باشد. با توجه به مقالات بررسی شده، از آنجایی که CWAs به شدت سمی هستند و استفاده از آن‌ها در آزمایشگاه‌های تحقیقاتی محدود شده است، تحقیقات بر روی تاثیرات عوامل جنگ شیمیایی در محیط زیست، اغلب با مطالعه ترکیبات مشابه انجام می‌شود. عوامل جنگ شیمیایی بر پایه ارگانوفسفر (OP) تهدید بزرگی برای انسان‌هاست؛ به دلیل توانایی آن‌ها در مهار آنزیم استیل کولین استر (AChE) که نقش مهمی در سیستم عصبی ایفا می‌کند. بر طبق مطالعات انجام شده، سارین دارای بیشترین ترکیبات مشابه می‌باشد، دی متیل متیل فسفات (DMMP) از جمله معروف‌ترین این شبه‌عامل می‌باشد، که بیشترین مطالعات بر روی آن صورت گرفته است. روش کروماتوگرافی لایه نازک نیز، در صورتی که با تکنیک‌های دیگر مانند طیف‌سنج جرمی، رامان و مادون قرمز ترکیب شود، امکان آنالیز قوی را برای CWAs فراهم می‌کند.

منابع

- Barba-Bon, A., Costero, A. M., Gil, S., Martínez-Máñez, R., & Sancenón, F. (2014). Selective chromo-fluorogenic detection of DFP (a Sarin and Soman mimic) and DCNP (a Tabun mimic) with a unique probe based on a boron dipyrrromethene (BODIPY) dye. *Organic & biomolecular chemistry*, 12(43), 8745-8751.
- Alekseenko, S. S. (2012). Liquid chromatography with mass-spectrometric detection for the determination of chemical warfare agents and their degradation products. *Journal of analytical chemistry*, 67(2), 82-97.
- Mondloch, J. E., Katz, M. J., Isley III, W. C., Ghosh, P., Liao, P., Bury, W., & Snurr, R. Q. (2015). Destruction of chemical warfare agents using metal-organic frameworks. *Nature materials*, 14(5), 512-516.
- Kim, T. I., Maity, S. B., Bouffard, J., & Kim, Y. (2016). Molecular Rotors for the Detection of Chemical Warfare Agent Simulants. *Analytical Chemistry*, 88(18), 9259-9263.
- Okumura, T., Takasu, N., Ishimatsu, S., Miyanoki, S., Mitsuhashi, A., Kumada, K., & Hinohara, S. (1996). Report on 640 victims of the Tokyo subway sarin attack. *Annals of emergency medicine*, 28(2), 129-135.

- Gray, C. (2007). Another bloody century: Future welfare.
- Satoh, T., Kishi, S., Nagashima, H., Tachikawa, M., Kanamori-Kataoka, M., Nakagawa, T., ... & Seto, Y. (2015). Ion mobility spectrometric analysis of vaporous chemical warfare agents by the instrument with corona discharge ionization ammonia dopant ambient temperature operation. *Analytica chimica acta*, 865, 39-52.
- Siouffi, A. M. (2005). From paper to planar: 60 years of thin layer chromatography. *Separation and Purification Reviews*, 34(2), 155-180.
- Sherma, J. (2008). Planar chromatography. *Analytical chemistry*, 80(12), 4253-4267.
- Sherma, J. (2010). Planar chromatography. *Analytical chemistry*, 82(12), 4895-4910.
- Fried, B., & Sherma, J. (1999). *Thin-Layer Chromatography*, revised and expanded (Vol. 81). CRC Press.
- Quagliano, J. C., Witkiewicz, Z., & Popiel, S. *THIN LAYER CHROMATOGRAPHY OF CHEMICAL WARFARE AGENTS*.
- Satcher, J. H., Maienschein, J. L., Pagoria, P. F., Racoveanu, A., Carman, M. L., Whipple, R. E., & Reynolds, J. G. (2012, May). Portable thin layer chromatography for field detection of explosives and propellants. In SPIE Defense, Security, and Sensing (pp. 83580Z-83580Z). International Society for Optics and Photonics.
- Lutonská, T., Kobliha, Z., & Skaličan, Z. (2015). The Qualitative Analysis of the Selected Explosives using Thin-Layer Chromatography. *Gas*, 74(22), 22.
- Thangaduraia, S., Dhanalakshmia, A., & Kannana, M. V. S. (2013). Separation and detection of certain benzodiazepines by thin-layer chromatography. *Malaysian Journal of Forensic Sciences (MJOFS): Mission Statement*, 4, 47-53.
- Yu, H., Le, H. M., Kaale, E., Long, K. D., Layloff, T., Lumetta, S. S., & Cunningham, B. T. (2016). Characterization of drug authenticity using thin-layer chromatography imaging with a mobile phone. *Journal of pharmaceutical and biomedical analysis*, 125, 85-93.
- Yue, G., Su, S., Li, N., Shuai, M., Lai, X., Astruc, D., & Zhao, P. (2016). Gold nanoparticles as sensors in the colorimetric and fluorescence detection of chemical warfare agents. *Coordination Chemistry Reviews*, 311, 75-84.
- Zhao, R., Jia, D., Wen, Y., & Yu, X. (2017). Cantilever-based aptasensor for trace level detection of nerve agent simulant in aqueous matrices. *Sensors and Actuators B: Chemical*, 238, 1231-1239.
- Sayago, I., Matatagui, D., Fernández, M. J., Fontecha, J. L., Jurewicz, I., Garriga, R., & Muñoz, E. (2016). Graphene oxide as sensitive layer in Love-wave surface acoustic wave sensors for the detection of chemical warfare agent simulants. *Talanta*, 148, 393-400.

- Zhao, Q., Liu, G., Zhang, H., Zhou, F., Li, Y., & Cai, W. (2017). SERS-based ultrasensitive detection of organophosphorus nerve agents via substrate's surface modification. *Journal of Hazardous Materials*, 324, 194-202.
- Climent, E., Biyikal, M., Gawlitza, K., Dropa, T., Urban, M., Costero, A. M., & Rurack, K. (2017). Determination of the chemical warfare agents Sarin, Soman and Tabun in natural waters employing fluorescent hybrid silica materials. *Sensors and Actuators B: Chemical*, 246, 1056-1065.
- Whitaker, C. M., Derouin, E. E., O'connor, M. B., Whitaker, C. K., Whitaker, J. A., Snyder, J. J., & Reitmayer, A. K. (2017). Smart hydrogel sensor for detection of organophosphorus chemical warfare nerve agents. *Journal of Macromolecular Science, Part A*, 54(1), 40-46.